

## Расплывание атомных волновых пакетов и полуклассический хаос

В. Ю. Аргонов<sup>1)</sup>

Лаборатория нелинейных динамических систем,  
Тихоокеанский океанологический институт Дальневосточного отд. РАН, 690041 Владивосток, Россия

Поступила в редакцию 13 октября 2009

Показано соответствие между статистическими свойствами эволюции квантовой системы и ляпуновской неустойчивостью, и хаосом её полуклассического аналога. Мы сравниваем результаты анализа движения атома в лазерном поле в полуклассическом приближении (динамика описывается несколькими нелинейными уравнениями) и без него (динамика описывается бесконечной системой линейных уравнений). В тех диапазонах параметров, в которых полуклассическая динамика точечных атомов неустойчива, наблюдается быстрое “расползание” квантованных волновых пакетов в импульсном пространстве. Мы заключаем, что детерминированный хаос “имитирует” статистику квантовых недетерминированных эффектов, несмотря на принципиальные различия полуклассических и квантовых решений.

PACS: 05.45.–a, 37.10.Vz

Квантово-классическое соответствие и квантовый хаос – фундаментальные проблемы квантовой механики и нелинейной динамики. Многие квантовые системы в полуклассическом приближении демонстрируют нелинейные эффекты хаоса, аномальной диффузии, фракталов и т. д. Но квантовые уравнения сами по себе линейны, поэтому в строгом смысле такие эффекты невозможны вне рамок полуклассического приближения. На практике, однако, в природе не найдено математически строгих фракталов и строго детерминированного хаоса: всегда существуют шумы и огрубления на мелких масштабах. Поэтому проблему квантового хаоса мы будем рассматривать в более прагматическом ключе: какие нелинейные эффекты, наблюдаемые при полуклассическом моделировании квантовой системы, приближенно проявляются и в реальной физической системе, а какие – лишь ошибки полуклассического приближения?

Удобной системой для исследования квантового хаоса является атом в лазерном поле. Хаотические полуклассические решения для двухуровневого атома были теоретически обнаружены в 1970-х годах [1]. Сравнению полуклассической динамики точечных атомов и квантовой эволюции волновых пакетов посвящены многие работы 1990-х годов. В [2–5] показан эффект динамической локализации, связанный с подавлением классического хаоса когерентными квантовыми эффектами. Однако если учесть эффект спонтанного излучения, который нарушает когерентность, то некоторые проявления полуклассической динамики восстанавливаются [6].

В своих предыдущих работах [7, 8] мы также обнаружили детерминированный хаос, фракталы и другие неустойчивые эффекты в полуклассической динамике атомов в лазерном поле. Проявления детерминированного хаоса сохраняются и при наличии эффекта спонтанного излучения [9, 10]. В этих работах спонтанное излучение учитывается методом квантовых траекторий, но механическое движение атома рассматривается полуклассически. В работе [11] проквантовано и механическое движение, там рассматривается динамика уже не отдельных траекторий, а волновых пакетов. В настоящей работе мы продолжаем исследование динамики квантовых волновых пакетов и сравниваем новые результаты с результатами, полученными в работе [8]. Главный результат настоящей работы состоит в обнаружении явного соответствия между хаосом полуклассических траекторий атомов и расплыванием квантованных атомных волновых пакетов.

Мы рассматриваем двухуровневый атом (с частотой межуровневого перехода  $\omega_a$  и массой  $m_a$ ), находящийся в мощной стоячей волне лазера (с частотой  $\omega_f$ ). В системе отсчета, вращающейся с лазерной частотой, гамильтониан имеет следующий вид [8]:

$$\hat{H} = \frac{\hat{P}^2}{2m_a} + \frac{1}{2}\hbar(\omega_a - \omega_f)\hat{\sigma}_z - \hbar\Omega(\hat{\sigma}_- + \hat{\sigma}_+)\cos k_f\hat{X}, \quad (1)$$

где  $\hat{\sigma}_{\pm,z}$  – операторы переходов между уровнями атома (матрицы Паули),  $\hat{X}$  и  $\hat{P}$  – операторы координаты и импульса атома,  $\Omega$  – частота Раби. Для удобства численного анализа запишем волновую функцию атома в импульсном пространстве:  $|\Psi(t)\rangle \equiv \int [A(P, t)|2\rangle + B(P, t)|1\rangle]dP$ , где  $A(P, t)$  и  $B(P, t)$  –

<sup>1)</sup> e-mail: argonov@poi.dvo.ru

комплексные амплитуды вероятности нахождения атома в момент  $t$  в состоянии с импульсом  $P$  на верхнем  $|2\rangle$  и нижнем  $|1\rangle$  энергетическом уровне, соответственно. Мы будем считать, что в системе нет потерь энергии (гамильтоново приближение), как это делалось в [8]. В реальных экспериментах потери можно подавить или исключить в следующих случаях: 1) атом помещен в высокодобротный резонатор, 2) возбужденные уровни имеют время жизни  $T \gg 1/\Omega$ , 3) в многократно повторяемом эксперименте мы исключаем из рассмотрения реализации, в которых за время измерений произошел спонтанный переход. Мы исходим из  $\Omega \sim 10^9\text{--}10$  Гц, поэтому гамильтонов режим может быть обеспечен на современном оборудовании. Из гамильтониана (1) получаем бесконечномерную систему уравнений [11], состоящую из пар:

$$\begin{aligned} i\dot{a}_p &= \frac{\omega_r p^2}{2} a_p - \frac{\Delta}{2} a_p - \frac{1}{2} [b_{p-1} + b_{p+1}], \\ i\dot{b}_p &= \frac{\omega_r p^2}{2} b_p + \frac{\Delta}{2} b_p - \frac{1}{2} [a_{p-1} + a_{p+1}]. \end{aligned} \quad (2)$$

Здесь  $p \equiv P/\hbar k_f$  – перенормированный импульс. Для каждого значения  $p$  есть своя пара (2) для своих переменных  $a_p$  и  $b_p$  – амплитуд вероятности, что атом имеет импульс  $p$  и при этом находится в возбужденном или основном состоянии, соответственно. Точка обозначает дифференцирование по перенормированному времени  $\tau \equiv \Omega t$ . Также использованы обозначения  $\omega_r \equiv \hbar k_f^2/m_a \Omega$  и  $\Delta \equiv (\omega_f - \omega_a)/\Omega$ . Последние члены в уравнениях связывают состояния с перенормированными импульсами, различающимися на единицу. Атом при вынужденном излучении меняет импульс  $P$  строго на величину импульса фотона  $\hbar k_f$  в направлении оси лазера, что соответствует единичному изменению  $p$ . Поэтому для получения замкнутой системы достаточно целочисленных  $p$ . Можно рассматривать и дробные  $p$ , но для каждого значения нецелой части  $p$  будет своя замкнутая система уравнений вида (2). В системе существует закон сохранения энергии, поэтому при поиске решений (2) можно ограничиться конечным числом уравнений, занулив  $a_p$  и  $b_p$  при больших  $p$ .

Получив решения в импульсном представлении, можно найти вероятности нахождения атома в основном и в возбужденном состояниях (с произвольным импульсом)

$$W_{|1\rangle} = \sum_p |b_p|^2, \quad W_{|2\rangle} = \sum_p |a_p|^2$$

и вероятность нахождения атома состоянии с импульсом  $p$  (в произвольном электронном состоянии)

$W_p = |a_p|^2 + |b_p|^2$ . Произведя преобразование Фурье, можно получить и волновую функцию системы в координатном представлении. В отличие от импульса, координата может принимать любые значения.

Уравнения движения (2) описывают динамику квантовых волновых пакетов. В полуклассическом приближении можно ограничиться рассмотрением динамики средних значений физических величин. Ее описывает нелинейная система уравнений [8]:

$$\begin{aligned} \dot{\langle x \rangle} &= \omega_r \langle p \rangle, \quad \dot{\langle p \rangle} = -u \sin \langle x \rangle, \quad \dot{u} = \Delta v, \\ \dot{v} &= -\Delta u + 2z \cos \langle x \rangle, \quad \dot{z} = -2v \cos \langle x \rangle, \end{aligned} \quad (3)$$

где  $\langle x \rangle$  и  $\langle p \rangle$  – средние значения перенормированных координаты  $x \equiv k_f X$  и импульса  $p$ . Блоховские переменные  $u$ ,  $v$ ,  $z$  определяются как  $u \equiv 2 \int_{-\infty}^{\infty} \text{Re}(ab^*) dp$ ,  $v \equiv -2 \int_{-\infty}^{\infty} \text{Im}(ab^*) dp$ ,  $z \equiv \int_{-\infty}^{\infty} (|a|^2 - |b|^2) dp$ . При выводе системы (3) использовано приближение, при котором средние значения произведений физических величин равны произведениям средних значений. Одним из условий справедливости полуклассического подхода является большой атомный импульс в сравнении с импульсом фотона ( $p \gg 1$ ). Наша задача – сравнение результатов анализа приближенных уравнений (3) с результатами анализа уравнений (2) и установление квантово-классического соответствия.

Для численного исследования выберем значения параметров и начальных условий. Мы фиксируем  $\omega_r = 10^{-5}$ , что по порядку величины соответствует экспериментам с атомами Cs [12, 13] и Rb [14]. Второй параметр, расстройка резонанса  $\Delta$ , будет варьироваться в широком диапазоне. Начальная координата центра тяжести атома равна  $\langle x(0) \rangle = 0$ , начальное значение среднего импульса  $\langle p(0) \rangle$  будет принимать различные значения, удовлетворяющие  $p \gg 1$ . Начальный волновой пакет, находящийся в начале координат, имеет простейшую гауссову форму

$$a_p(0) = b_p(0) = \frac{1}{\sqrt{2\sigma_p(0)}\sqrt{2\pi}} \exp \frac{-(p - \langle p(0) \rangle)^2}{4\sigma_p^2(0)}, \quad (4)$$

что соответствует значениям блоховских переменных  $u(0) = 1$ ,  $v(0) = z(0) = 0$ .  $\sigma_p$  – стандартное отклонение импульса атома (по порядку величины равное полуширине пакета). При  $\tau = 0$  зафиксируем его значением  $\sigma_p(0) = 5/\sqrt{2}$ . Поэтому, в соответствии с соотношением Гейзенберга, стандартное отклонение начальной координаты  $\sigma_x(0) = 1/2\sigma_p(0) = 0.1\sqrt{2}$  (это значительно меньше длины световой волны, которая

в наших обозначениях равна  $2\pi$ ). Дальнейшую динамику волнового пакета (4) (эволюционирующего согласно ур. (2)) можно сравнивать с динамикой облаков точечных полуклассических атомов (эволюционирующих согласно ур. (3)), распределенных в импульсном и координатном пространствах в начальный момент времени по Гауссу с такими же  $\sigma_p$  и  $\sigma_x$ .

И полуклассические облака, и квантовые волновые пакеты со временем расплываются. Разбегание полуклассических траекторий особенно ярко выражено при наличии динамической неустойчивости. На рис.1а для среднего начального импульса

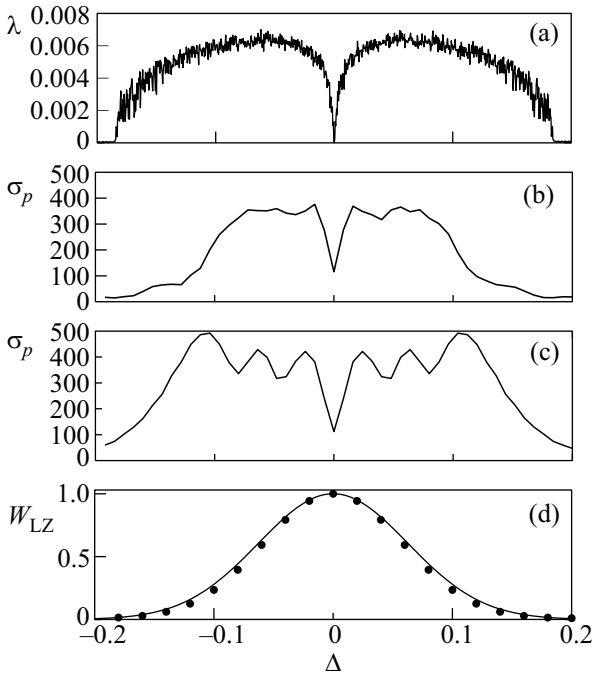


Рис.1. Зависимости классических и квантовых характеристик движения от расстройки атомно-полевого резонанса  $\Delta$ : (а) максимальный показатель Ляпунова полуклассической системы (3), (б) стандартное отклонение импульса полуклассических атомов в облаке газа при  $\tau = 6000$ , (с) стандартное отклонение импульса квантованного атома в тот же момент, (д) вероятность туннелирования атома между потенциалами при пересечении узла стоячей волны: точки – численные результаты, линии – аналитические (7). Везде  $\langle p(0) \rangle = 600$

$\langle p(0) \rangle = 600$  (соответствует ультрахолодным атомам со скоростями порядка 1 м/с) построен график максимального показателя Ляпунова  $\lambda$  как функции расстройки атомно-полевого резонанса. При  $0 < |\Delta| \lesssim 0.2$  решения неустойчивы по Ляпунову ( $\lambda > 0$ ): близкие траектории экспоненциально расходятся со временем, что приводит к быстрому расширению об-

лаков атомов. На рис.1б и с изображены графики зависимости  $\sigma_p$  от расстройки в момент  $\tau = 6000$  для полуклассического и квантового случаев, соответственно. Типичные полуклассические и квантовые временные зависимости  $\sigma_p$  показаны на рис.2. Среднеквадратичное отклонение растет для всех зна-

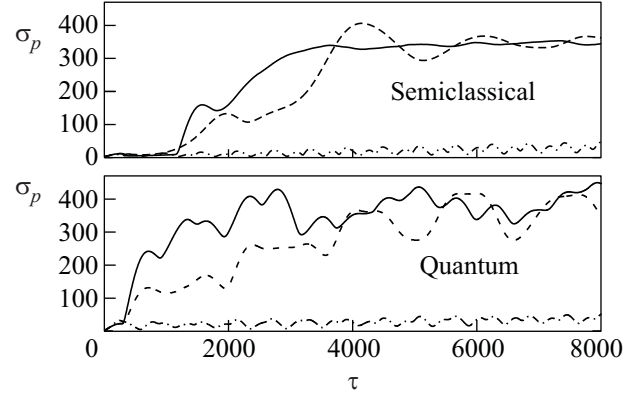


Рис.2. Полуклассические и квантовые зависимости стандартного отклонения импульса атомов от времени: сплошные линии  $\Delta = -0.05$  (сильная неустойчивость), штриховые линии  $\Delta = -0.02$  (умеренная неустойчивость), штрих-пунктирные линии  $\Delta = -0.5$  (устойчивая динамика)

чений расстройки (из закона сохранения энергии, импульс атома не может быть неограниченным, поэтому  $\sigma_p$  со временем достигает насыщения), однако скорость этого роста на порядки выше для тех  $\Delta$ , которым соответствует  $\lambda > 0$ .

Главный результат этой работы заключается в наличии корреляции между полуклассическими (рис.1а, б и верхний фрагмент рис.2) и квантовыми (рис.1с и нижний фрагмент рис.2) характеристиками движения. С полуклассическим показателем Ляпунова коррелирует скорость “расползания” не только полуклассических облаков, но и квантовых волновых пакетов. Но показатель Ляпунова вычислен для полуклассических решений, а для квантовых решений он равен нулю, поэтому быстрое увеличение ширины волновых пакетов для умеренных расстроек требует дополнительного объяснения.

Движение атомов может быть описано как движение в некотором потенциальном поле  $U$ . Эффективную энергию атома определим как сумму кинетической и потенциальной энергий:

$$H \equiv \frac{\omega_r \langle p \rangle^2}{2} + U. \quad (5)$$

Основные черты движения определяются видом потенциала  $U$ . Ниже мы перечислим основные формы

потенциалов  $U$  и режимы движения атомов, обнаруженные в [8] и [11] для полуклассической и квантовой динамик. Для квантового случая мы дополнительно проиллюстрируем результаты методом фазовых “следов” (рис.3). Темные места (“размазанные” тра-

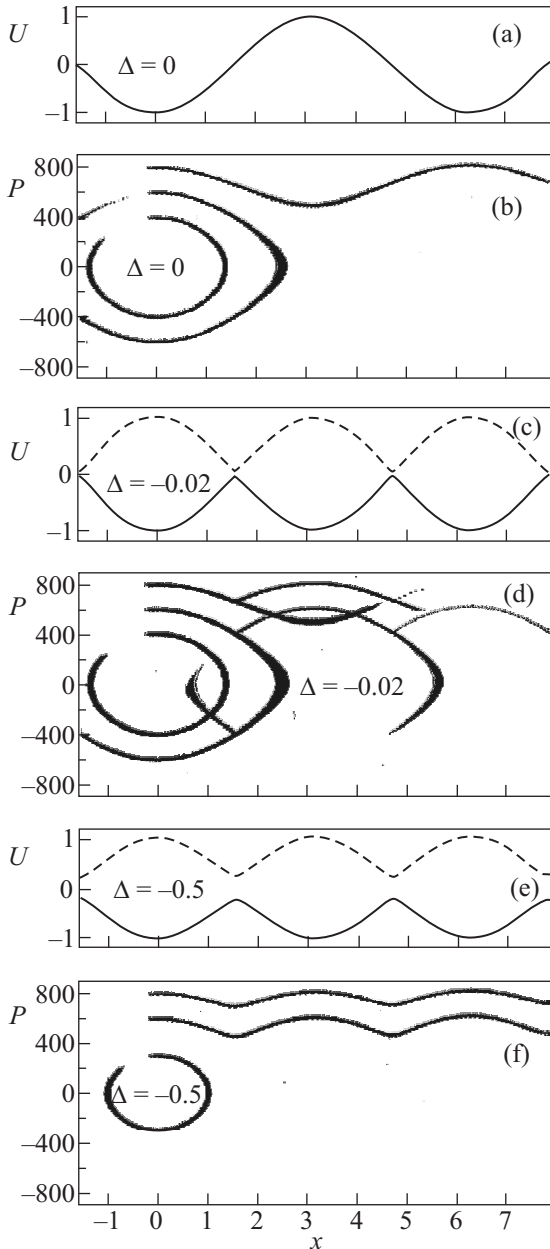


Рис.3. Потенциалы  $U$ , в которых движутся атомы при разных расстройках  $\Delta$ , и соответствующие им “следы” атомных волновых пакетов в фазовом пространстве  $(x, p)$  для трех различных значений начального импульса на каждом фрагменте рисунка. Каждый “след” начинается в точках с координатой  $x = 0$ . При  $\Delta \neq 0$  сплошной линией показан потенциал  $U_-$ , штриховой –  $U_+$

ектории) на фазовой диаграмме соответствуют комбинациям координат и импульсов, которые были у атома с высокой вероятностью хотя бы в один момент времени в течение показанной эволюции (в разных случаях смоделированной до  $\tau = 720-3000$ ).

1.  $\Delta = 0$ . Как в квантовом, так и в полуклассическом случаях потенциал в течение эволюции единственен и периодичен с периодом  $2\pi$ . В частности, в квантовой динамике он равен  $\mp \cos x$ , где знак определяется начальными условиями. В начальный момент времени атом при  $u(0) = 1$  попадает на потенциал  $-\cos x$  (рис.3а), при  $u(0) = -1$  – на  $\cos x$ . При другом значении  $u(0)$  волновой пакет расщепляется на два пакета, которые далее эволюционируют независимо и более не расщепляются. В полуклассической динамике начального расщепления нет, но от  $u(0)$  зависит амплитуда потенциала. В остальном же и в полуклассике и в квантовой динамике реализуется единый простой принцип: быстрые атомы движутся сквозь поле с переменным, но знакопостоянным импульсом, медленные колеблются в потенциальной яме (форма потенциала соответствует форме стоячей волны). На рис.3 все атомы выбраны с положительным начальным импульсом, а потенциал имеет отрицательный знак ( $u(0) = 1$ ).

2.  $0 < \Delta \ll 1$ . В полуклассическом случае потенциал меняется хаотическим образом при каждом пересечении атомом узла стоячей волны ( $x = \pi/2, 3\pi/2, \dots$ ). Если  $0 < H < \max[U]$ , атом попеременно (по мере изменения глубины потенциала) то захватывается в ямах, то летит сквозь поле: эффект хаотического блуждания. Существенно отличается ситуация в квантовом случае. Здесь сосуществует два потенциала строго заданной формы (рис.3с):

$$U_- = -\sqrt{\cos^2 x + \Delta^2/4}, \quad U_+ = \sqrt{\cos^2 x + \Delta^2/4} \quad (6)$$

с периодом  $\pi$ , между которыми возможно туннелирование, приводящее к расщеплению волнового пакета вблизи узлов стоячей волны (рис.3d). При  $|u(0)| = 1$  начальный знак потенциала противоположен знаку  $u(0)$ , а при  $|u(0)| \neq 1$  волновой пакет расщепляется в момент  $\tau = 0$ . Но в дальнейшем волновые пакеты в любом случае расщепляются на узлах. На рис.3d  $u(0) = 1$ , и волновые пакеты поначалу движутся без расщеплений, повторяя резонансный случай (замедляя свою скорость по мере приближения к узлу). На узле (где  $x \simeq 1.57$ ) они расщепляются на два пакета, один из которых эволюционирует в потенциальном поле  $U_-$  (“быстрые” пакеты), а второй в  $U_+$  (“медленные” пакеты). Далее расщепления повторяются.

3.  $\Delta \gtrsim 1$ . Как в квантовом, так и в полуклассическом случаях потенциал в течение эволюции един-

ственен и периодичен с периодом  $\pi$ . В квантовом случае он имеет форму одного из потенциалов (6). Второй же потенциал тоже теоретически существует, но расстояние между  $U_-$  и  $U_+$  слишком велико, так что туннелирования не происходит (рис.3e, f).

Приведенные закономерности наталкивают на мысль, что именно расщепление пакетов каким-то образом коррелирует с ляпуновской неустойчивостью полуклассических решений. Чтобы проверить это, оценим вероятность туннелирования Ландау-Зинера при пересечении атомом узла стоячей волны:

$$W_{LZ} \approx \exp \frac{-\Delta^2 \pi}{4\omega_r \langle p_{\text{node}} \rangle}, \quad (7)$$

где  $\langle p_{\text{node}} \rangle$  – среднее значение импульса при пересечении узла стоячей волны (при  $\cos x = 0$ ). Его можно найти из закона сохранения энергии (5), зная  $U$  и начальные условия. На рис.1d вероятность туннелирования, вычисленная по формуле (7), приведена сплошной линией. Чтобы сравнить этот аналитический результат с численным, мы моделируем эволюцию волнового пакета до первого пересечения им узла стоячей волны. Изначальный “быстрый” волновой пакет (как на рис.3) расщепляется в некоторой пропорции на “быстрый” и “медленный”. Эта пропорция и определяет вероятность того, что атом совершил туннелирование Ландау-Зинера. С точки зрения квантовых измерений,  $W_{LZ}$  имеет смысл вероятности найти атом после первого пересечения узла в диапазоне импульсов и координат, соответствующих “медленному” волновому пакету. Как показывает рисунок, формула (7) и численные результаты очень близки. Можно показать, что данный результат справедлив и для дальнейших разделений каждого из полученных пакетов при отсутствии интерференции между ними. Учет влияния интерференции является темой нашего дальнейшего исследования. Вблизи и вдали от резонанса (где  $\lambda \simeq 0$ ) расщепление крайне асимметрично и не вносит особого вклада в рост  $\sigma_p$ . Расщепление пакетов точно пополам происходит при  $|\Delta| \sim |0.07|$ , и это должно вызывать быстрый рост  $\sigma_p$ . Как видно из рис.1a, именно этому значению  $|\Delta|$  и соответствует максимальная неустойчивость полуклассической динамики.

Таким образом, мы установили, что быстрое увеличение  $\sigma_p$  квантованного атома в диапазоне  $0 < |\Delta| \lesssim 0.2$  объясняется расщеплением волновых пакетов. В полуклассическом случае расщеплений нет, но это компенсируется динамическим хаосом. Корреляции на рис.1 и 2 объясняются тем, что полуклассический хаос пытается “имитировать” статистику расщеплений квантовых пакетов.

Сформулируем заключение. Полуклассическое моделирование движения атома в поле дает детерминированное описание, в котором нет места случайностям, туннелированиям и расщеплениям. Парадоксальный результат состоит в том, что квантовые эффекты, устраняемые полуклассическим приближением “через дверь”, могут возвращаться в решения “через окно” динамической неустойчивости. В регулярных и простых режимах полуклассическая модель легко справляется с описанием движения (решения периодичны). Но если волновые пакеты расщепляются, в полуклассической модели появляется динамический хаос – классическое явление, наиболее близко способное имитировать некоторые свойства сложной квантовой динамики: и классическая неустойчивость, и расщепление пакетов приводят к быстрому росту неопределенности положения частиц. Мы обнаружили новое проявление квантовоклассического соответствия, которое может быть полезным для методологии изучения квантовых систем и имеет отношение к эффектам, которые могут быть обнаружены в реальных экспериментах. Данная работа поддержана грантами Российского фонда фундаментальных исследований # 09-02-01258-а и # 09-02-00358-а.

1. П. И. Белобров, Г. М. Заславский, Г. Х. Тартаковский, ЖЭТФ **71**, 1799 (1976).
2. F. L. Moore, J. C. Robinson, C. Bharucha et al, Phys. Rev. Lett. **73**, 2974 (1994).
3. J. C. Robinson, C. Bharucha, F. L. Moore et al, Phys. Rev. Lett. **74**, 3963 (1995).
4. S. Dyrting and G. J. Milburn, Phys. Rev. A **51**, 3136 (1995).
5. R. Graham, M. Schlautmann, and P. Zoller, Phys. Rev. A **45**, R19 (1992).
6. B. G. Klappauf, W. H. Oskay, D. A. Steck et al., Phys. Rev. Lett. **81**, 1203 (1998).
7. V. Yu. Argonov and S. V. Prants, J. Russian Laser Research **27**, 360 (2006).
8. V. Yu. Argonov and S. V. Prants, Phys. Rev. A **75**, 063428 (2007).
9. V. Yu. Argonov and S. V. Prants, JETP Letters **88**, 655 (2008).
10. V. Yu. Argonov and S. V. Prants, Phys. Rev. A **78**, 043413 (2008).
11. С. В. Пранц, ЖЭТФ **136** N11 (2009).
12. H. Ammann, R. Gray, I. Shvarchuck et al., Phys. Rev. Lett. **80**, 4111 (1998).
13. C. J. Hood, T. W. Lynn, A. C. Doherty et al., Science **287**, 1447 (2000).
14. W. K. Hensinger, N. R. Heckenberg, G. J. Milburn et al., J. Opt. B: Quantum Semiclass. Opt. **5**, R83 (2003).